

实验报告

实验报告

- 题目分析
 - 机械臂运动学模型
 - 末端轨迹约束
 - 路径点序列优化
 - 碰撞避免约束
- 优化方法
 - 问题建模
 - 优化框架
 - Hessian 矩阵 H
 - 梯度向量 g
 - 碰撞避免梯度 (实验性)
 - 约束处理
 - KKT 系统求解
 - 迭代更新
 - 实验结果与分析
 - 实验设置
 - 实验结果
- 暴力解析方法
 - 问题建模
 - 算法设计
 - 构型空间离散化
 - 逆运动学解析解
 - 碰撞检测模型
 - 构图与图搜索
 - 算法复杂度分析
 - 实验结果与分析
 - 实验设置
 - 无障碍物实验结果
 - 有障碍物实验结果
- RRT*采样方法
 - RRT*核心流程

1. 题目分析

1.1 机械臂运动学模型

平面三连杆机械臂的末端位置 (x, y) 由关节角度 $\theta_0, \theta_1, \theta_2$ 和连杆长度 L_1, L_2, L_3 决定:

$$\begin{aligned}x &= L_1 \cos(\theta_0) + L_2 \cos(\theta_0 + \theta_1) + L_3 \cos(\theta_0 + \theta_1 + \theta_2), \\y &= L_1 \sin(\theta_0) + L_2 \sin(\theta_0 + \theta_1) + L_3 \sin(\theta_0 + \theta_1 + \theta_2).\end{aligned}$$

关节角度约束: $\theta_0, \theta_1, \theta_2 \in [-\pi, \pi]$ 。

1.2 末端轨迹约束

末端需沿圆 C 的外部圆弧运动。设圆心 $c = (c_x, c_y)$, 半径 r , 末端轨迹圆半径 $R > r$ (需优化)。末端位置 (x_i, y_i) 满足:

$$(x_i - c_x)^2 + (y_i - c_y)^2 = R^2.$$

对应的圆心角 $\beta_i = \arctan(y_i - c_y, x_i - c_x)$ 需覆盖尽可能大的圆弧区间 $[\beta_{\min}, \beta_{\max}]$, 目标最大化圆弧跨度:

$$\max(\beta_{\max} - \beta_{\min}).$$

1.3 路径点序列优化

给定路径点序列 $Q = \{q_1, \dots, q_n\}$, 其中 $q_i = (\theta_{0,i}, \theta_{1,i}, \theta_{2,i})$ 。目标最小化相邻点的欧氏距离和:

$$\min_Q \sum_{i=1}^{n-1} \|q_i - q_{i+1}\|_2 = \min_Q \sum_{i=1}^{n-1} \sqrt{\sum_{j=0}^2 (\theta_{j,i} - \theta_{j,i+1})^2}.$$

1.4 碰撞避免约束

- **连杆圆柱模型**: 每个连杆均匀附加 3 个圆, 半径 $r_k = L_k/6$ ($k = 1, 2, 3$)。圆心位置由正运动学计算。
- **障碍物**: 设第 s 个障碍物圆心 $o_s = (o_{x,s}, o_{y,s})$, 半径 r_s 。
- **非碰撞约束**: 机械臂圆 k 与障碍物 s 满足:

$$\|p_k - o_s\|_2 \geq r_k + r_s,$$

其中 p_k 为连杆圆心。

2. 优化方法

2.1 问题建模

给定平面三连杆机械臂的关节角度序列 $Q = [q_2, q_3, \dots, q_N]$, 其中 $q_i = [\theta_{i0}, \theta_{i1}, \theta_{i2}]^\top$ 为第 i 个路径点的关节角度 ($i \neq 1$), q_1 在初始时使用牛顿法迭代到轨迹起点并保持不变。末端执行器需沿圆 C 的外部圆弧运动。优化目标是最小化路径点之间的欧氏距离和:

$$\min_Q \frac{1}{2} \sum_{i=1}^{N-1} \|q_{i+1} - q_i\|_2^2$$

约束条件为末端执行器位置需逼近目标点序列 p_1, p_2, \dots, p_N :

$$F(q_i) - p_i = 0, \quad i = 2, \dots, N$$

其中 $F(\cdot)$ 为正向运动学函数。

2.2 优化框架

采用 **KKT 条件** 求解带约束的优化问题。优化变量为增量 ΔQ , 目标函数和约束的线性近似为:

$$\begin{aligned} \min_{\Delta Q} \quad & \frac{1}{2} \Delta Q^\top H \Delta Q + g^\top \Delta Q \\ \text{s.t.} \quad & J \Delta Q = -C \end{aligned}$$

其中：

- H 为 Hessian 矩阵（稀疏），尺寸 $3(N-1) \times 3(N-1)$ 。
- g 为梯度向量，尺寸 $3(N-1) \times 1$ 。
- J 为雅可比矩阵，尺寸 $2(N-1) \times 3(N-1)$ 。
- C 为残差向量，尺寸 $2(N-1) \times 1$ 。

2.2.1 Hessian 矩阵 H

H 的构建基于目标函数的二阶近似：

- **主对角块**：当 $i \in [1, N-2]$ 时，对角块为 $4I_3$ ；当 $i = N-1$ 时，对角块为 $2I_3$ 。
- **非对角块**：相邻块为 $-2I_3$ 。

数学形式为：

$$H = \begin{bmatrix} 4I_3 & -2I_3 & & \\ -2I_3 & 4I_3 & \ddots & \\ & \ddots & \ddots & -2I_3 \\ & & -2I_3 & 2I_3 \end{bmatrix}$$

2.2.2 梯度向量 g

梯度 g 由目标函数的一阶导生成：

- 对于 $i = 1$ ：

$$g_i = 2(q_2 - q_1)$$

- 对于 $i \in [2, N-2]$ ：

$$g_i = 2(2q_i - q_{i-1} - q_{i+1})$$

- 对于 $i = N-1$ ：

$$g_i = 2(q_{N-1} - q_{N-2})$$

2.2.3 碰撞避免梯度（实验性）

在关节空间引入碰撞代价梯度 $g_{\text{collision}}$ ，推动路径点远离障碍物：

1. **碰撞圆定义**：每个连杆上有 3 个圆，圆心位置为：

$$\text{center}_j = \begin{bmatrix} k_j L_1 \cos(\theta_i) \\ k_j L_1 \sin(\theta_i) \end{bmatrix}, \quad k_j = \left\{ \frac{1}{6}, \frac{1}{2}, \frac{5}{6} \right\}$$

半径 $r_{\text{collision}} = L_1/6$ 。

2. **碰撞梯度计算**：若碰撞圆与障碍物距离 $d < \epsilon$ ：

$$g_{\text{collision},i} = \kappa \cdot d \cdot J_c^\top \cdot \text{dir}$$

其中：

- κ 为缩放因子 `Collision_K`。
- dir 为障碍物指向圆心的单位方向向量。
- J_c 为圆心位置对关节角度的雅可比矩阵：

$$J_c = \begin{bmatrix} -k_j L_1 \sin(\theta_i) & 0 & 0 \\ k_j L_1 \cos(\theta_i) & 0 & 0 \end{bmatrix}$$

总梯度更新为：

$$g \leftarrow g + g_{\text{collision}}$$

问题：路径最短化梯度与避障梯度方向冲突时，可能导致优化过程震荡或不收敛，因此这一部分为实验性的，只按照思路实现了第一个机械臂的障碍物梯度。在实验时发现增加碰撞避免后迭代发散了，故只展示思考。

2.2.4 约束处理

- **雅可比矩阵 J ：**由对角块 J_i 组成，每个块为正向运动学雅可比：

$$J_i = \frac{\partial F(q_i)}{\partial q_i}, \quad \text{尺寸 } 2 \times 3$$

具体形式为：

$$J_i = \begin{bmatrix} A & B & C \\ D & E & F \end{bmatrix}$$

其中：

- $A = -L_1 \sin(q_{i0}) - L_2 \sin(q_{i0} + q_{i1}) - L_3 \sin(q_{i0} + q_{i1} + q_{i2})$
- $B = -L_2 \sin(q_{i0} + q_{i1}) - L_3 \sin(q_{i0} + q_{i1} + q_{i2})$
- $C = -L_3 \sin(q_{i0} + q_{i1} + q_{i2})$
- $D = L_1 \cos(q_{i0}) + L_2 \cos(q_{i0} + q_{i1}) + L_3 \cos(q_{i0} + q_{i1} + q_{i2})$
- $E = L_2 \cos(q_{i0} + q_{i1}) + L_3 \cos(q_{i0} + q_{i1} + q_{i2})$
- $F = L_3 \cos(q_{i0} + q_{i1} + q_{i2})$

- **残差向量 C ：**

$$C_i = F(q_i) - p_i$$

2.2.5 KKT 系统求解

KKT 矩阵和右端向量为：

$$\begin{bmatrix} H & J^\top \\ J & 0 \end{bmatrix} \begin{bmatrix} \Delta Q \\ \lambda \end{bmatrix} = \begin{bmatrix} -g \\ -C \end{bmatrix}$$

使用 **Eigen** 的 **SimplicialLDLT** 求解稀疏线性系统。

2.2.6 迭代更新

1. **步长选择（在代码中都已经实现）：**

- 固定步长 $\alpha = 0.01$
- 递减步长 $\alpha = c/k$
- Backtracking/Armijo线搜索

2. **更新规则：**

$$Q \leftarrow Q + \alpha \Delta Q$$

3. **收敛条件：** $\|\Delta Q\|_2 < \epsilon$.

2.3 实验结果与分析

2.3.1 实验设置

- 机械臂参数: $L_1 = 110, L_2 = 145, L_3 = 180$ (单位: mm)
- 轨迹参数: 圆心 (300, 0), 半径 80, 采样步长 0.1 rad

2.3.2 实验结果

采用固定步长0.01使用538步收敛:

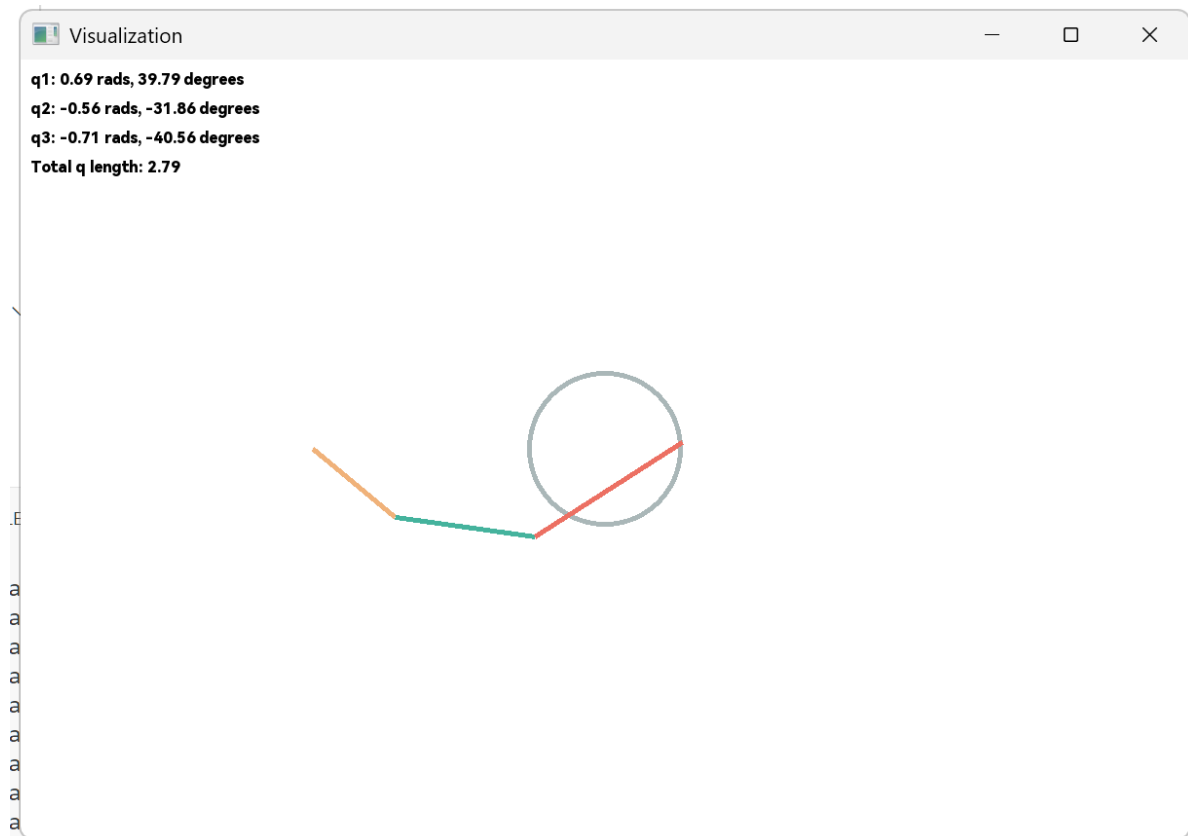
```
Iteration 537: Delta Q Norm: 0.010023
Iteration 538: Delta Q Norm: 0.009929
Total q length: 2.79
Program finished
```

采用递减步长 $\alpha = 2.0/(\text{iter} + 1.0)$ 使用21步收敛:

```
Iteration 20: Delta Q Norm: 0.010708
Iteration 21: Delta Q Norm: 0.009690
Total q length: 2.79
Program finished
```

采用线搜索也使用21步收敛:

```
Iteration 20: Delta Q Norm: 0.010020
Iteration 21: Delta Q Norm: 0.007546
Total q length: 2.79
Program finished
```



3. 暴力解析方法

3.1 问题建模

考虑一个平面三连杆机械臂系统，其连杆长度分别为 L_1, L_2, L_3 。机械臂末端需沿给定的圆形轨迹运动，同时避开工作空间中的障碍物。每个连杆上分布有三个碰撞检测圆，位置分别在 $\frac{L_i}{6}, \frac{L_i}{2}, \frac{5L_i}{6}$ 处，直径为 $\frac{L_i}{3}$ ($i = 1, 2, 3$)，整个机械臂共有 9 个碰撞检测圆。障碍物表示为圆形区域，定义为 (x_o, y_o, r_o) ，其中 (x_o, y_o) 为圆心， r_o 为半径。

轨迹规划问题可形式化为：寻找关节角度序列 $\mathbf{q} = [\theta_1, \theta_2, \theta_3]^T$ ，使得机械臂末端精确通过轨迹点序列 $\mathcal{P} = \{P_k = (x_k, y_k)\}_{k=1}^N$ ，同时满足：

1. 运动学约束：

$$\begin{bmatrix} x_k \\ y_k \end{bmatrix} = \begin{bmatrix} L_1 \cos \theta_1^k + L_2 \cos(\theta_1^k + \theta_2^k) + L_3 \cos(\theta_1^k + \theta_2^k + \theta_3^k) \\ L_1 \sin \theta_1^k + L_2 \sin(\theta_1^k + \theta_2^k) + L_3 \sin(\theta_1^k + \theta_2^k + \theta_3^k) \end{bmatrix}$$

2. 避障约束：

$$\min_{c \in \mathcal{C}, o \in \mathcal{O}} \|\mathbf{p}_c - \mathbf{p}_o\| > r_c + r_o + \epsilon$$

其中 \mathcal{C} 为机械臂碰撞圆集合， \mathcal{O} 为障碍物集合， ϵ 为安全裕度。

3. 运动连续性约束：

$$\|\mathbf{q}^k - \mathbf{q}^{k-1}\| < \delta_{\max}$$

3.2 算法设计

3.2.1 构型空间离散化

由于机械臂共3自由度，在选定末端位置后便只剩下1个自由度，因此确定末端位置和第一个关节角 θ_1 后就能确定另外两个关节角。机械臂的构型空间通过以下方式离散化：

1. 第一关节离散化：

将 θ_1 在 $[-\pi, \pi]$ 范围内均匀离散为 M 份：

$$\theta_1^j = -\pi + j \cdot \frac{2\pi}{M}, \quad j = 0, 1, \dots, M-1$$

2. 轨迹点离散化：

N 个轨迹点构成的序列 $\mathcal{P} = \{P_k\}_{k=1}^N$ 通过圆形轨迹采样生成：

$$\begin{bmatrix} x_k \\ y_k \end{bmatrix} = \begin{bmatrix} x_c \\ y_c \end{bmatrix} + r_c \begin{bmatrix} \cos \phi_k \\ \sin \phi_k \end{bmatrix}, \quad \phi_k = \phi_{\min} + k \cdot \Delta\phi$$

其中 $\Delta\phi$ 为角度步长。

在完成离散化后，对 θ_1 和 P_k 进行排列就能得到 $M \times N$ 种组合，每种组合对应2种构型，可以将这 $M \times N \times 2$ 种构型对应的 q_1, q_2, q_3 存储为节点（无解的构型抛弃），待后续搜索。

3.2.2 逆运动学解析解

对于每个轨迹点 P_k 和每个 θ_1^j ，计算末端相对于第一个关节的位置：

$$\begin{bmatrix} x_{\text{rel}} \\ y_{\text{rel}} \end{bmatrix} = \begin{bmatrix} x_k - L_1 \cos \theta_1^j \\ y_k - L_1 \sin \theta_1^j \end{bmatrix}$$

计算距离 $d = \sqrt{x_{\text{rel}}^2 + y_{\text{rel}}^2}$, 检查可达性:

$$|L_2 - L_3| \leq d \leq L_2 + L_3$$

使用几何方法求解 θ_2 和 θ_3 :

- 先计算第三个关节的位置 (存在两个解)
- 使用点积计算几个连杆之间的夹角余弦, 最后生成两对解 $(\theta_{21}^j, \theta_{31}^j)$ 和 $(\theta_{22}^j, \theta_{32}^j)$

3.2.3 碰撞检测模型

机械臂的碰撞检测基于连杆上的碰撞圆:

1. 连杆上碰撞圆位置:

对于第 i 个连杆上的第 j 个碰撞圆 ($j \in \{\frac{1}{6}, \frac{1}{2}, \frac{5}{6}\}$):

$$\mathbf{p}_{ij} = \mathbf{p}_{i-1} + j \cdot (\mathbf{p}_i - \mathbf{p}_{i-1})$$

其中 $\mathbf{p}_0 = [0, 0]^T$, $\mathbf{p}_1 = [L_1 \cos \theta_1, L_1 \sin \theta_1]^T$, 以此类推。

2. 碰撞条件:

碰撞圆 c 与障碍物 o 之间的距离约束:

$$\|\mathbf{p}_c - \mathbf{p}_o\| \geq r_c + r_o + \epsilon$$

其中 $r_c = L_i/6$, ϵ 为安全裕度。

3.2.4 构图与图搜索

图结构定义

定义有向图 $\mathcal{G} = (\mathcal{V}, \mathcal{E})$:

- **顶点集 \mathcal{V} :** 每个可行构型 $v_{k,j,m}$ 表示在轨迹点 k 处, 第一关节角度索引为 j , 构型分支为 m 的可行解
- **边集 \mathcal{E} :** 连接相邻轨迹点间满足运动约束的顶点

边连接规则

顶点 $v_{k,j,m}$ 连接到 $v_{k+1,l,n}$ 的条件:

1. 角度索引连续性:

$$|j - l| \leq \Delta j \quad \text{或} \quad |j - l| \geq M - \Delta j$$

其中 Δj 为最大索引差, $M = 360$ 为 $[-\pi, \pi]$ 空间被分成的份数 (考虑角度循环特性)

2. 关节角度变化约束:

$$\|\mathbf{q}_{k,j,m} - \mathbf{q}_{k+1,l,n}\|_{\infty} < \delta_{\max}$$

其中 δ_{\max} 为关节角度最大变化量

3. 边权重: 定义为关节空间欧氏距离

$$w(v_{k,j,m}, v_{k+1,l,n}) = \|\mathbf{q}_{k,j,m} - \mathbf{q}_{k+1,l,n}\|$$

Dijkstra 最短路径算法

使用优先队列实现 Dijkstra 算法搜索最短路径:

```

function DIJKSTRA_GRAPH_SEARCH(G, N, M)
    dist[1..N][1..M][1..2] ← ∞
    prev[1..N][1..M][1..2] ← null

    priority_queue Q ← ∅

    // 初始化起点
    for each feasible v_{1,j,m} at k=1
        dist[1][j][m] ← 0
        Q.push(v_{1,j,m})

    while Q not empty
        u ← Q.pop_min()
        if u is end point and dist[u] is minimal
            record best_end = u

        for each neighbor v of u at k+1
            alt ← dist[u] + w(u, v)
            if alt < dist[v]
                dist[v] ← alt
                prev[v] ← u
                Q.push(v)

    // 回溯路径
    path ← []
    u ← best_end
    while u ≠ null
        path.append(u.q)
        u ← prev[u]

    return reversed(path)

```

3.2.5 算法复杂度分析

1. 网格生成阶段：

- 时间： $O(N \times M \times C)$ ，其中 C 为碰撞检测计算量
- 空间： $O(N \times M)$

2. 图搜索阶段：

- 时间： $O((N \times M) \log(N \times M))$ (Dijkstra 算法)
- 空间： $O(N \times M)$

3.3 实验结果与分析

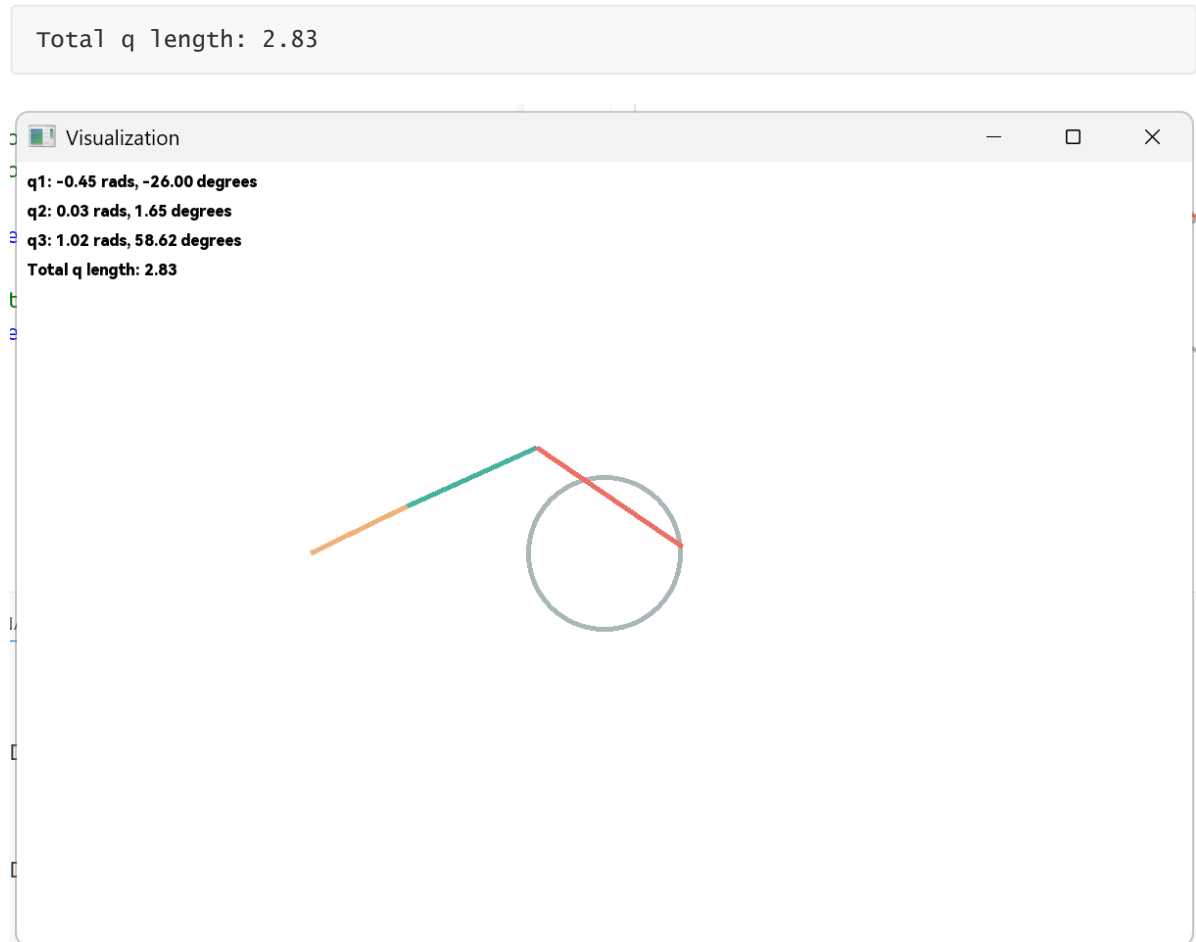
3.3.1 实验设置

- 机械臂参数： $L_1 = 110, L_2 = 145, L_3 = 180$ (单位：mm)
- 轨迹参数：圆心 (300, 0)，半径 80，采样步长 0.1 rad
- 障碍物设置：
 - O_1 : (400, -100, 40)
 - O_2 : (10, 120, 20)
- 算法参数：
 - $M = 360$ (θ_1 离散化)

- $\Delta j = 1$ (最大角度索引差, 等于1即只能在相邻节点间移动)
- $\delta_{\max} = 10^\circ$ (关节角度最大变化)
- $\epsilon = 10$ (安全距离)

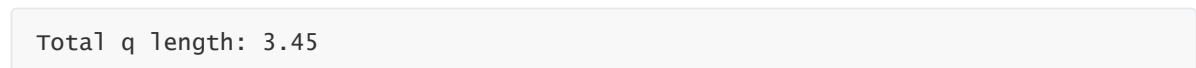
3.3.2 无障碍物实验结果

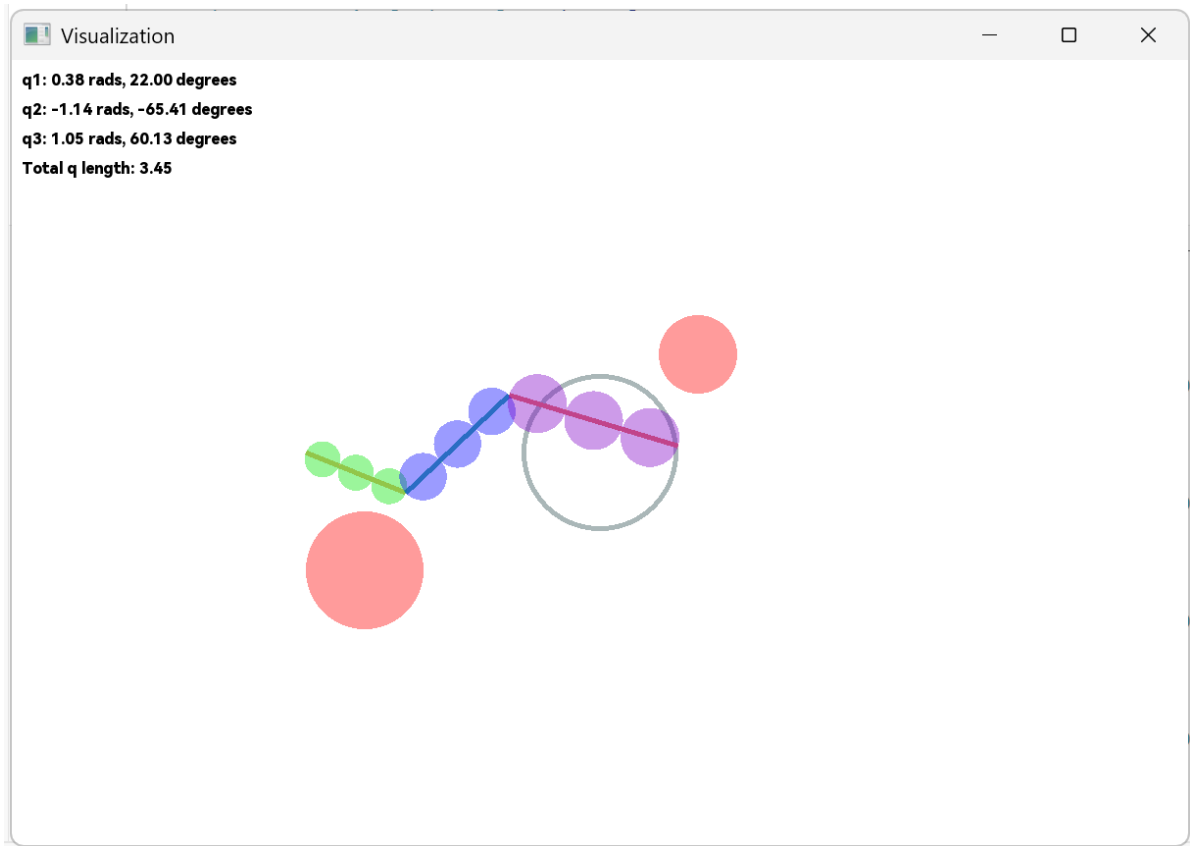
得到如下结果:



与2中优化方法相比, 所得q的总长度误差为0.04, 可以分析得到为算法精度引起的误差, 而不是构型引发的误差 (两种确定第一根杆后, 另外两杆的两种构型对称)。

3.3.3 有障碍物实验结果





观察到碰撞圆并未与环境中的圆碰撞，并且为了躲避障碍物，q的总长度上升了。

4. RRT*采样方法

这一部分并未使用代码具体严格地实现，因此只有算法思路展示，具体实现时可以调用OMPL规划库中的RRTstar算法。对于约束的处理主要参考了[1]中的投影法，将采样到的原始点投影到约束流形上。

4.1 RRT*核心流程

RRT*算法在满足约束的前提下构建树结构 T ，并通过重连机制优化路径代价 ($\sum_{i=1}^{n-1} \|q_i - q_{i+1}\|_2$)。

步骤1：初始化

- 树 T 初始化为起始配置 $\mathbf{q}_{\text{start}}$ ，满足 $\mathbf{q}_{\text{start}}$ 对应的末端位置为轨迹起点 P_1 。将圆弧轨迹等分成2-3段，分成三次来规划，上一段轨迹的终止状态对应下一段轨迹的初始状态。

步骤2：随机采样与投影[1]

- 在配置空间 Q 中随机采样点 \mathbf{q}_{rand} 。
- 投影操作：**将 \mathbf{q}_{rand} 投影至满足末端轨迹约束的流形 X ：

$$\mathbf{q}_{\text{proj}} = P(\mathbf{q}_{\text{rand}}),$$

其中 $P(\cdot)$ 为投影算子，通过迭代求解约束方程 $F(\mathbf{q}) = 0$ (如牛顿法)：

$$\Delta \mathbf{q} = J(\mathbf{q})^+ F(\mathbf{q}), \quad \mathbf{q} \leftarrow \mathbf{q} - \Delta \mathbf{q},$$

$J(\mathbf{q})$ 为约束函数 F 的雅可比矩阵，“ $^+$ ”表示伪逆。投影确保 \mathbf{q}_{proj} 满足末端位置约束。

步骤3：最近节点选择

- 在树 T 中查找距离 \mathbf{q}_{proj} 最近的节点 \mathbf{q}_{near} ：

$$\mathbf{q}_{\text{near}} = \arg \min_{\mathbf{q} \in T} d(\mathbf{q}, \mathbf{q}_{\text{proj}}),$$

其中 $d(\cdot)$ 为配置空间的距离度量（如欧氏距离）。

步骤4：路径扩展

- 从 \mathbf{q}_{near} 向 \mathbf{q}_{proj} 扩展一小步 η ，生成新节点 \mathbf{q}_{new} ：

$$\mathbf{q}_{\text{new}} = \mathbf{q}_{\text{near}} + \eta \frac{\mathbf{q}_{\text{proj}} - \mathbf{q}_{\text{near}}}{\|\mathbf{q}_{\text{proj}} - \mathbf{q}_{\text{near}}\|}.$$

- 若 \mathbf{q}_{new} 未精确满足末端约束，需再次投影至流形 X 。

步骤5：碰撞检测

- 检查 \mathbf{q}_{new} 是否满足避障约束

步骤6：节点添加与重连优化

- 若路径可行，将 \mathbf{q}_{new} 添加至树 T 。
- **重连 (Rewire)**：在 \mathbf{q}_{new} 的邻域 \mathcal{N}_r 内搜索节点 \mathbf{q}_{nbr} ，若以 \mathbf{q}_{new} 为父节点可降低路径代价，则更新连接：

$$\text{cost}(\mathbf{q}_{\text{nbr}}) > \text{cost}(\mathbf{q}_{\text{new}}) + d(\mathbf{q}_{\text{new}}, \mathbf{q}_{\text{nbr}}),$$

其中 $\text{cost}(\cdot)$ 为累积路径长度。

参考文献：

[1] [Sampling-Based Methods for Motion Planning with Constraints. Kingston, Moll, Kavraki. Annual Review of Control, Robotics, and Autonomous Systems Volume 1, 2018](#)